

# **Slapové zahřívání a konvekce v ledové slupce Enceladu: počátky konvekce**

**Marie Běhouneková, Gabiel Tobie, Gaël Choblet, Ondřej Čadek**

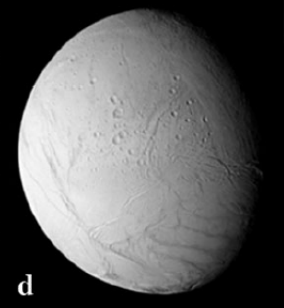
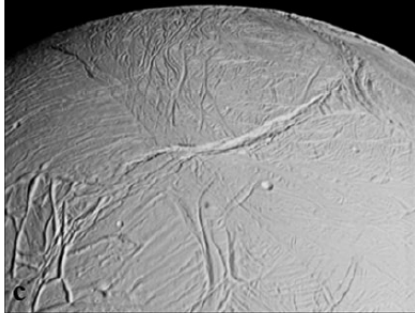
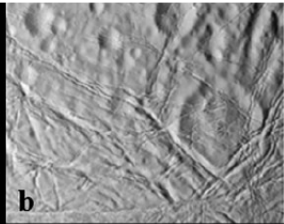
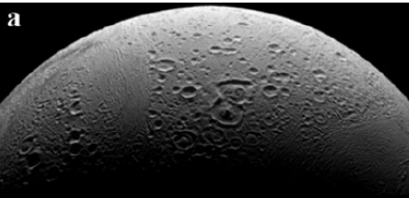
**20.3.2013**

# Enceladus

- ▶ synchronní rotace, excentricita 0.0045
- ▶ poloměr 252 km, střední hustota  $1608 \text{ kg/m}^3$  (Thomas a kol. 2007)
- ▶ pravděpodobně diferenciované těleso (x less a kol.)
- ▶ složitá historie endogenní geologické aktivity, aktivní kryovulkanismus s plumami na jižním pólu a subsidencí na jižním polárním terénu (Porco a kol. 2006, Collins a Goodman 2007)
- ▶ hustota kráterů se silně mění – velká koncentrace v severních šírkách a v pásech na přivrácené a odvrácené straně, jižní polární terén (South Polar Terrain SPT) neobsahuje žádné krátery větší než 1km (Porco a kol. 2006)
- ▶ některé krátery relaxované – zejména krátery v jižních oblastech (Smith a kol. 2006, Smith 2007), některé krátery modifikovány nedávnými zlomy
- ▶ SPT – ohraničen příkopy v šírkách  $\sim 55^\circ$  – NS komprese (Helfenstein 2010)
- ▶ SPT – 4 paralelní útvary, 2km široké, 100 km dlouhé, 0.5 km hluboké a 100m vysoké – tiger stripes
- ▶ kryovulkanické plamy spojeny s tygřími drápy, teplota dosahuje až 223 K (očekávaná teplota 68 K)
- ▶ zdrojem pro materiál prstence E

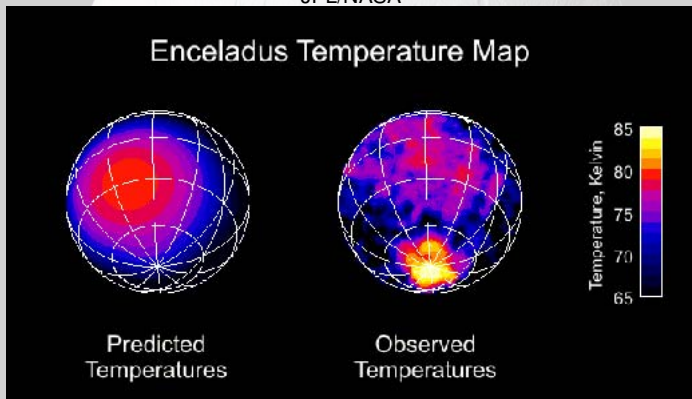
# Enceladus

Procter a kol. 2010, SSR

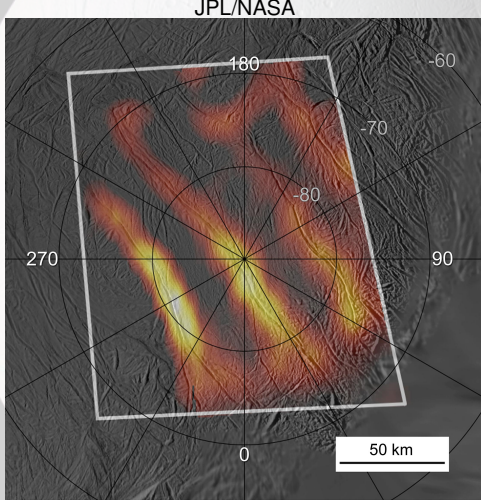


# Enceladus

JPL/NASA



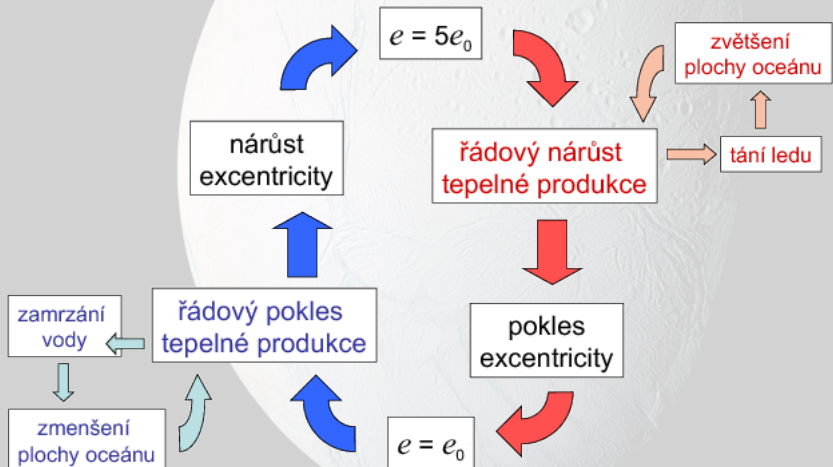
# Enceladus



# Enceladus – vnitřní vývoj a vývoj excentricity

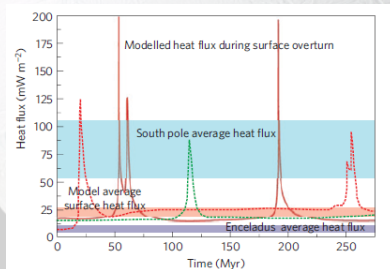
- ▶ výkon vyzářené energie 16 GW (Howett a kol. 2011)
- ▶ pozorovaný výkon řádově větší než výkon vzniklý rozpadem radioaktivních prvků
- ▶ slapové zahřívání je nejpravděpodobnější zdroj energie (dissipace slapových sil díky nenulové excentricitě)
  - ▶ současné modely mají problém vysvětlit celkový pozorovaný výkon (Nimmo a kol. 2007, Tobie a kol. 2008, Tyler 2008)
  - ▶ vyžadována vodní vrstva na rozhraní silikátového jádra a ledové slupky
  - ▶ stabilita vodního oceánu není doposud uspokojivě vysvětlena (Roberts a Nimmo 2008), žádný z dosud uvažovaných modelů není schopen vykompenzovat teplotní ztratu a umožnit dlouhodobou stabilitu vodního oceánu
  - ▶ vodní oceán může být omezen pouze na aktivní hemisféru (Tobie a kol. 2008)
  - ▶ pozorovaný tepelný výkon by měl vést k rychlému snižování excentricity
  - ▶ přenos momentu hybnosti ze Saturnu na Enceladus spojený s dissipací v Saturnu a 2:1 resonance s Dione nejsou dostatečně silné na dlouhodobé urdzení současné excentricity při pozorovaném výkonu (Meyer a Wisdom 2008, Zhang a Nimmo 2009)
  - ▶ dissipace v Saturnu je větší než předpokládáno (Lainey a kol. 2012) nebo excentricita byla v minulosti výrazně větší

# Enceladus – vnitřní vývoj a vývoj excentricity



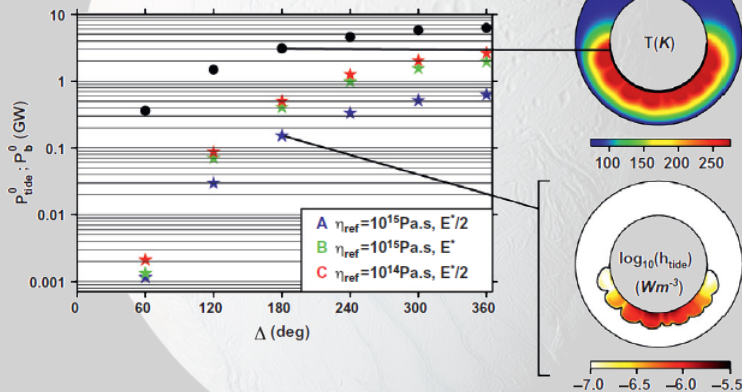
# Enceladus – vnitřní vývoj a vývoj excentricity

- ▶ vznik dichotomie může souviset s konvektivními procesy (Nimmo a Pappalardo 2006, Barr a McKinnon 2007, Mitri a Showman 2008, Roberts a Nimmo 2008, Stegman a kol. 2009, Han a kol. 2012, Běhouková a kol. 2010, 2012)
- ▶ problém vysvětlit pozorovaný výkon i pro konvektivní modely s vysokým vnitřním zahříváním – silná závislost viskozity ledu na teplotě (stagnant lid konvekce)
- ▶ pozorovaný tepelný výkon lze vysvětlit pouze pro konvekci s viskózním kontrastem 0–3 řády (Stegman a kol. 2009, Han a kol. 2012)
- ▶ epizodické přepovrchování a jeho periodicitu (O'Neil a Nimmo 2010, Byerlee-style yielding criterion)



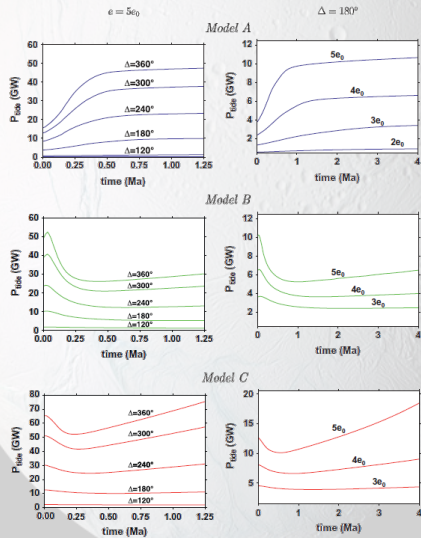
# Enceladus – vnitřní vývoj a vývoj excentricity

- porovnání celkového výkonu slapového zahřívání a výkonu odvedeného z vodního rezervoáru pro současnou excentricitu



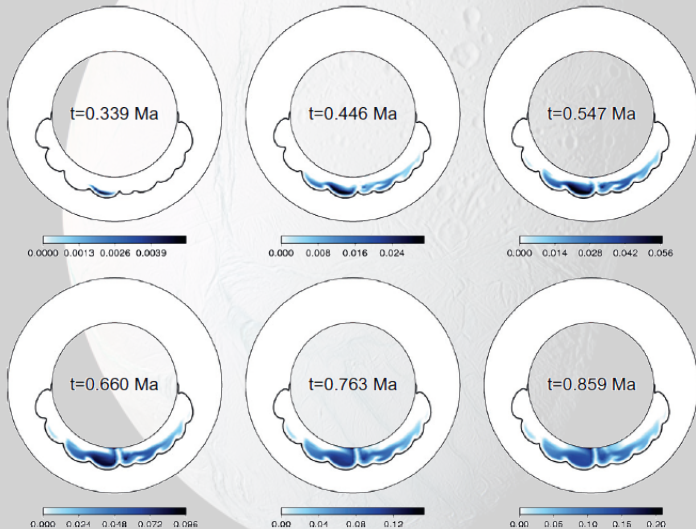
# Enceladus – vnitřní vývoj a vývoj excentricity

- vývoj celkového výkonu slapového zahřívání



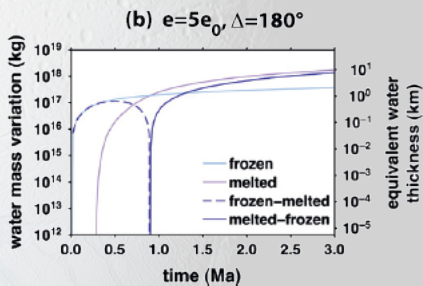
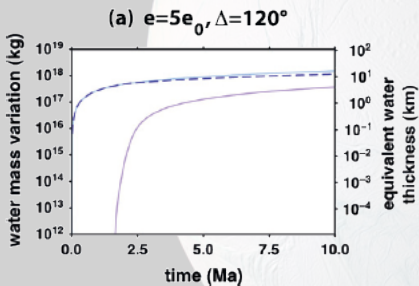
# Enceladus – vnitřní vývoj a vývoj excentritetu

- ▶ vývoj produkce vody (hmotnostní frakce pro model A,  $\Delta = 180^\circ$  a  $e = 5e_0$ )



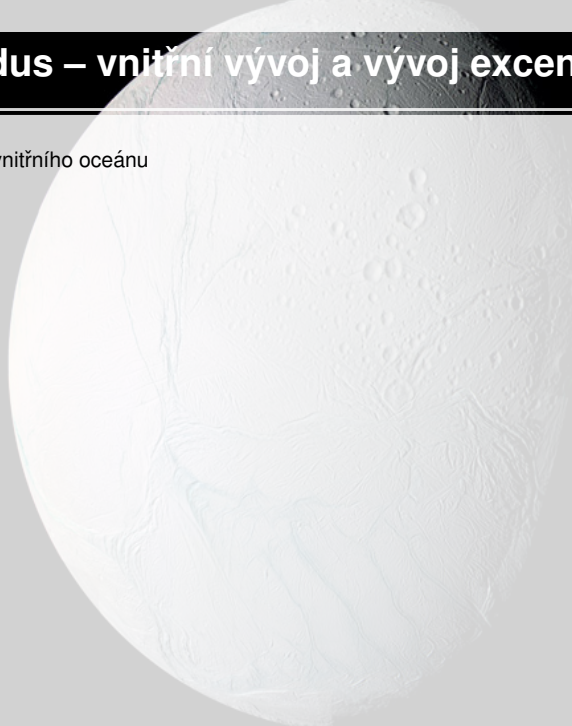
# Enceladus – vnitřní vývoj a vývoj excentricity

- ▶ vývoj vnitřního oceánu



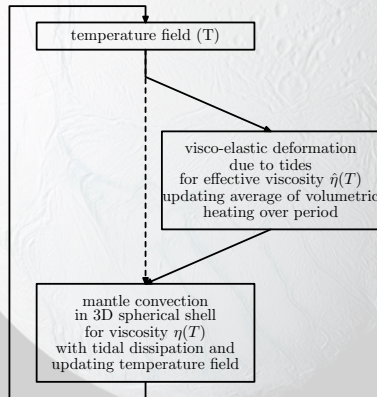
# Enceladus – vnitřní vývoj a vývoj excentricity

- ▶ vývoj vnitřního oceánu



# Metoda

- ▶ různé časové skály pro pláštové tečení a slapovou odezvu
- ▶ slapová odezva – viskoelastický materiál
- ▶ pláštové tečení – viskózní materiál, průměrná slapová disipace jako zdroj objemové energie
- ▶ teplotní závislost reologických parametrů obou procesů → vazba



# Plášťové tečení – rovnice

- ▶ klasická Boussinesqova aproximace

$$0 = \nabla \cdot \mathbf{v}, \quad (1)$$

$$0 = -\nabla p + \nabla \cdot (\eta(T) (\nabla \mathbf{v} + \nabla^T \mathbf{v})) - \rho_0 \alpha (T - T_0) g_0 \mathbf{e}_r, \quad (2)$$

$$\rho_0 c_p \frac{\partial T}{\partial t} = -\rho_0 c_p \mathbf{v} \cdot \nabla T + k \nabla^2 T + h_i + h_{\text{tide}}, \quad (3)$$

- ▶ jednoduchý model tavení (IME)
- ▶ okrajové podmínky
  - ▶ předdefinovaný vodní oceán dané šířky  $\Delta$
  - ▶ lineární kombinace free-slip a no-slip
  - ▶ lineární kombinace teploty a tepelného toku

# Slapová odezva – rovnice

$$0 = \nabla \cdot \mathbf{u}, \quad (4)$$

$$0 = -\nabla p + \nabla \cdot \mathbf{D} + \mathbf{f} \quad (5)$$

- ▶ síla

$$\mathbf{f} = \rho (\nabla \phi + \nabla V)$$

- ▶ Maxwellovská reologie

$$\frac{\partial \mathbf{D}}{\partial \tau} - \frac{\partial}{\partial \tau} \left( \hat{\mu} \left( \nabla \mathbf{u} + (\nabla \mathbf{u})^T \right) \right) = -\frac{\hat{\mu}}{\hat{\eta}} \mathbf{D} \quad (6)$$

- ▶ okrajové podmínky

povrch:  $(-\rho \mathbf{I} + \mathbf{D}) \cdot \mathbf{e}_r + u_r \rho_{\text{mantle}} \mathbf{g} = 0$

rozhraní jádro-plášt:  $(-\rho \mathbf{I} + \mathbf{D}) \cdot \mathbf{e}_r - u_r (\rho_{\text{core}} - \rho_{\text{mantle}}) \mathbf{g} = -\rho_{\text{core}} (\phi + V) \mathbf{e}_r$

a lineární kombinace  $\mathbf{u} = \mathbf{0}$

- ▶ slapové zahřívání

$$H = \frac{1}{T} \int_t^{t+T} \frac{\mathbf{D} : \mathbf{D}}{2\hat{\eta}} d\tau$$

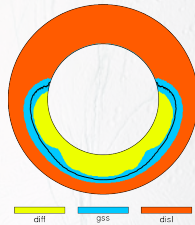
# Viskózní tečení – reologie

- ▶  $\dot{\varepsilon} = A \frac{\sigma^n}{dp} \exp\left(\frac{E^*}{RT}\right)$  (nelineární tečení, laboratorní měření)
- ▶  $\dot{\varepsilon} = \frac{A}{T} \frac{\sigma}{dp} \exp\left(\frac{E^*}{RT}\right)$  (difúzní tečení, teoretická předpověď)
- ▶ kompozitní reologie – difúzní tečení, dislokační tečení, tečení závislé na velikosti zrna (grain-size-sensitive creep, kombinace grain boundary sliding a basal sliding), Goldsby a Kohlstedt 2001
- ▶
$$\dot{\varepsilon} = \dot{\varepsilon}_{\text{diff}} + \dot{\varepsilon}_{\text{disl}} + \left( \frac{1}{\dot{\varepsilon}_{\text{gbs}}} + \frac{1}{\dot{\varepsilon}_{\text{bs}}} \right)^{-1}$$
- ▶ maximální viskózní kontrast z numerických důvodů 8 řádů

	n	p	T K	$E^*$ kJ/mol	T K	$E^*$ kJ/mol
diffusion creep	1	2	–	60	–	–
basal-slip accommodated GBS	2.4	1	–	60	–	–
GBS-accommodated basal slip	1.8	1.4	< 255	49	> 255	192
dislocation creep	4.0	1	< 258	60	> 258	180

# Viskózní tečení – reologie

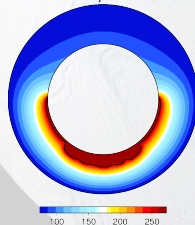
mechanismus



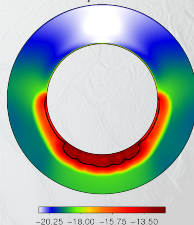
$\eta/\text{Pa s}$



$T/\text{K}$



$\dot{\epsilon}/\text{s}^{-1}$



# Boltzmannova teorie a dynamická kompliance

- ▶ Boltzmannova lineární teorie

$$\epsilon = \int_{-\infty}^t \dot{\sigma}(\tau) J(t - \tau) d\tau$$

- ▶ periodický děj  $\sigma(t) = \sigma_0 \exp(i\omega t)$ , substituce  $\xi = t - \tau$ :

$$\epsilon(t) = i\omega \underbrace{\sigma_0 \exp(i\omega t)}_{\sigma(t)} \int_0^\infty \exp(-i\omega\xi) J(\xi) d\xi$$

- ▶ dynamická kompliance:

$$J^*(\omega) = \epsilon(t)/\sigma(t) = i\omega \int_0^\infty J(\xi) \exp(-i\omega\xi) d\xi = J_1(\omega) + iJ_2(\omega)$$

- ▶ fáze (posunutí) mezi přiloženým napětím ( $\sigma_0 \exp(i\omega t)$ ) a výslednou deformací ( $\epsilon_0 \exp(i(\omega t + \delta))$ )

$$\tan \delta = \frac{J_2(\omega)}{J_1(\omega)}$$

- ▶ disipační faktor charakterizující ztrátu energie přes jeden cyklus:

$$Q^{-1} = \frac{\Delta E_{\text{diss}}}{2\pi E_{\max}} = \sin \delta = \frac{J_2(\omega)}{(J_1^2(\omega) + J_2^2(\omega))^{1/2}} \approx \tan \delta = \frac{J_2(\omega)}{J_1(\omega)}$$

# Boltzmannova teorie a dynamická kompliance

- ▶ Maxwellovská reologie ( $t \gg \tau_M$ ):

$$J_M(t - t') = J \left( 1 + \frac{t - t'}{\tau_M} \right) \theta(t - t'),$$

$$\tilde{J}_M(\chi) = J \left( 1 - \frac{i}{\tau_M \chi} \right)$$

- ▶ led – Andrade reologie

$$J(t - t') = J \left( 1 + \left( \frac{t - t'}{\zeta \tau_M} \right)^\alpha + \frac{t - t'}{\tau_M} \right) \theta(t - t'),$$

$$\tilde{J}(\chi) = J \left( 1 + (i \chi \zeta \tau_M)^{-\alpha} \Gamma(\alpha + 1) - \frac{i}{\tau_M \chi} \right)$$

# Viskoelasticita - zjednodušení

- ▶ komplexní reologický popis pro laboratorní experimenty - řešení ve spektrální oblasti
- ▶ zjednodušení Maxwellovská reologie  $J_1 = \frac{1}{\mu}$ ,  $J_2 = \frac{1}{\omega\eta}$ 
  - ▶ popis pouze pomocí dvou parametrů, možnost zahrnout 3D variace teploty pro řešení v časové doméně
  - ▶ popisuje děje s charakteristickými časy většími než Maxwellovský čas
  - ▶ pro charakteristické časy menší než Maxwellovský čas podceňuje disipaci
- definice efektivní viskozity

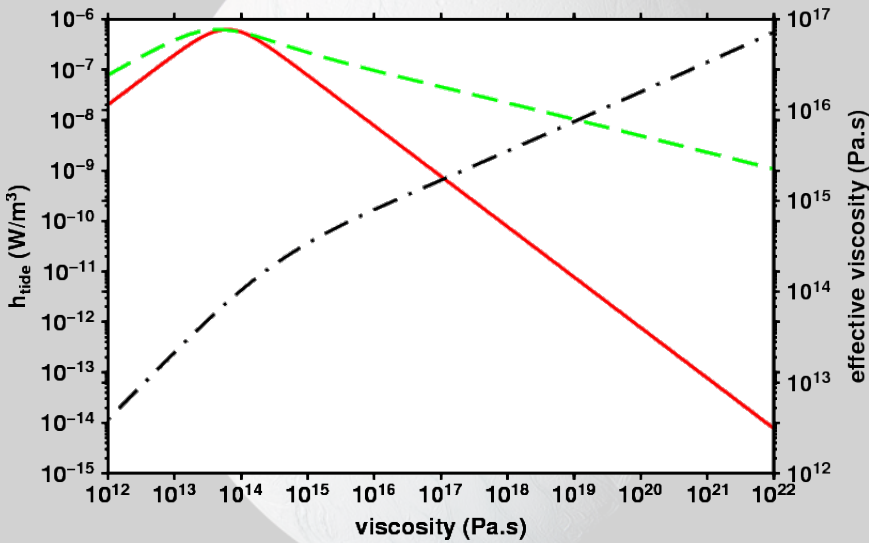
$$\begin{aligned} h_M &\approx Q_M^{-1} \approx \tan \delta_M \\ h_A &\approx Q_A^{-1} \approx \tan \delta_A \end{aligned}$$

$$h_M(\eta_{eff}) = h_A(\eta) \longrightarrow \tan \delta_M(\eta_{eff}) = \tan \delta_A(\eta)$$

$$\begin{aligned} \frac{\mu}{\omega\eta_{eff}} &= \frac{\frac{\mu}{\omega\eta} + \left(\frac{\mu}{\omega\zeta\eta}\right)^\alpha (\Gamma(\alpha+1) \sin \frac{\alpha\pi}{2})}{1 + \left(\frac{\mu}{\omega\zeta\eta}\right)^\alpha (\Gamma(\alpha+1) \cos \frac{\alpha\pi}{2})} \\ \eta_{eff} &= \frac{1 + \left(\frac{\mu}{\omega\zeta\eta}\right)^\alpha (\Gamma(\alpha+1) \cos \frac{\alpha\pi}{2})}{\frac{1}{\eta} + \frac{1}{\eta^\alpha} \left(\frac{\mu}{\omega\zeta}\right)^{\alpha-1} (\Gamma(\alpha+1) \sin \frac{\alpha\pi}{2})} \end{aligned}$$

- ▶ tato approximace v platná pouze za předpokladu budící síly na jedné frekvenci

# Viskoelasticita - zjednodušení



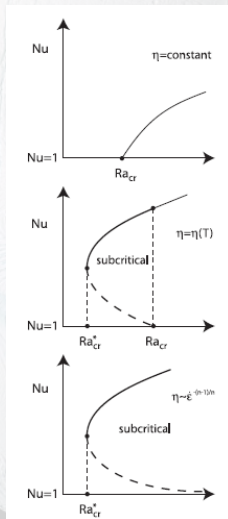
# Počátek konvekce (onset of convection)

- ▶ počátky konvekce (onset of convection) pro systémy zahřívané ze spodu a pro systémy s vnitřním zahříváním – klasická úloha
- ▶ isoviskózní případ – analýza lineární stability, infitezimální anomálie (Chandrasekhar 1961)
- ▶ teplotně závislá viskozita – anomálie s konečnou amplitudou (finite-amplitude perturbations) mohou spustit konvekci pro Rayleighova čísla menší než kritické Rayleighovo číslo (Busse 1967), charakterizace podkritické konvekce pro teplotně závislou viskozitu (Solomatov 2012)
- ▶ napěťově závislá viskozita – stabilní pro všechny infinitezimální perturbace, nutné anomálie s konečnou amplitudou (Solomatov a Barr 2006, 2007)
- ▶ Barr a McKinnon 2007 – první pokus k určení počátků konvekce pro Enceladus, použití škálovacích vztahů, vzájemné působení různých mechanismů deformace, maximální velikost zrna 0.3 mm pro počátek konvekce, konvekce může být spuštěna slapovým zahříváním

# Počátek konvekce (onset of convection)

Solomatov (2012)

critical Rayleigh number  $Ra_{cr}$ , absolute minimum critical Rayleigh number  $Ra_{cr}^*$

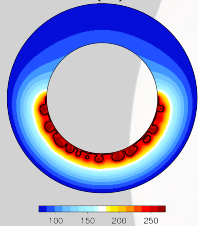


# Počátek konvekce (onset of convection)

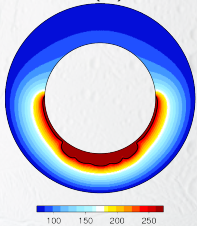
- ▶ specifické vlastnosti Enceladu
  - ▶ kombinace teplotně a napěťově závislé viskozity (převládá ale difúzní tečení)
  - ▶ heterogenní okrajové podmínky
  - ▶ heterogenní vnitřní zahřívání – vznik konečných perturbací
  - ▶ Rayleighovo číslo blízko kritickému Rayleighovu číslu (low Rayleigh number convection, subcritical convection?)
- ▶ termální anomálie nemohou nikdy vymizet díky heterogenním vnitřním zdrojům – nenulové rychlosti i v případě nekonvektujícího systému
- ▶ systém s konvekcí – advekce hlavní transportní mechanismus přenosu tepla (mimo hraniční vrstvy)
- ▶ systém bez konvekce – difúze hlavní transportní mechanismus přenosu tepla
  
- ▶ přítomnost konvekce řízena zejména velikostí zrna (difúzní deformace je převládajícím mechanismem)
- ▶ vnitřní heterogenní zahřívání podporuje vznik konvekce – snížení viskozity a zvýšení hustotních kontrastů

# Počátek konvekce – závislost na velikosti zrna

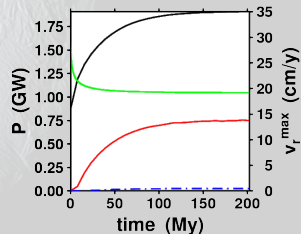
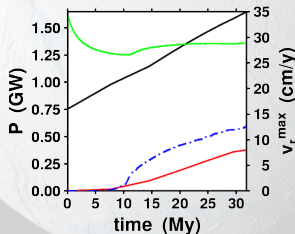
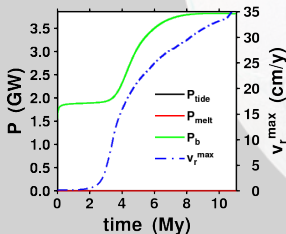
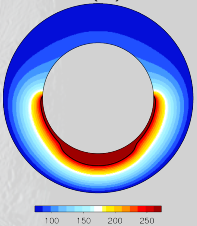
$e = 0$ ,  $d = 0.5$  mm  
 $t = 12$  My  
 $T(K)$



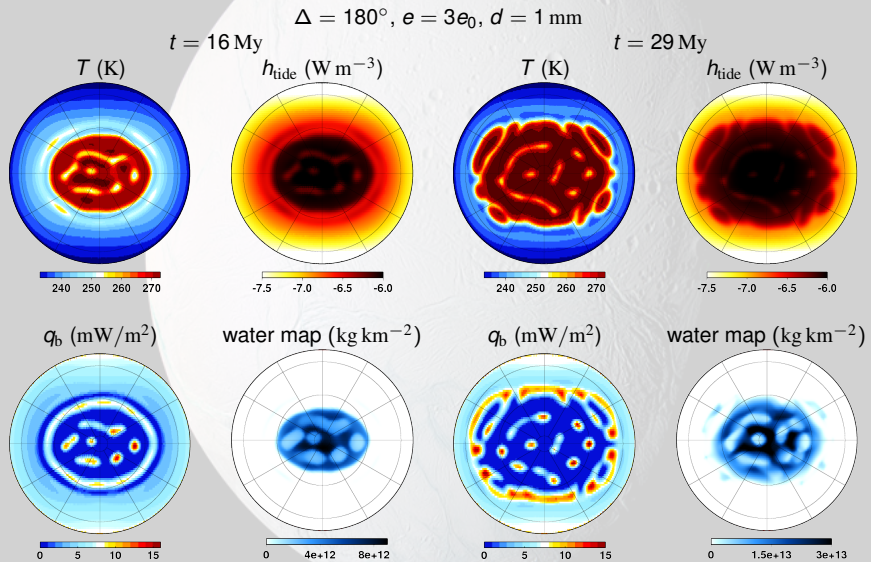
$e = 3e_0$ ,  $d = 1$  mm  
 $t = 34.5$  My  
 $T(K)$



$e = 4e_0$ ,  $d = 2$  mm  
 $t = 100$  My  
 $T(K)$

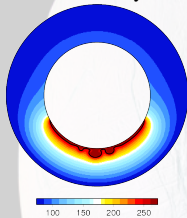


# Počátek konvekce – rozložení teplot a disipace

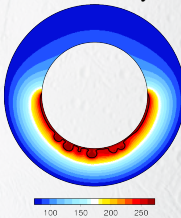


# Počátek konvekce – závislost na šířce oceánu

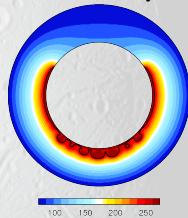
$\Delta = 120^\circ$   
 $t = 34 \text{ My}$



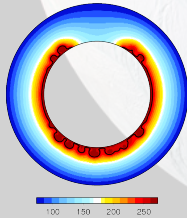
$d = 1 \text{ mm}$   
 $\Delta = 180^\circ$   
 $t = 22.5 \text{ My}$



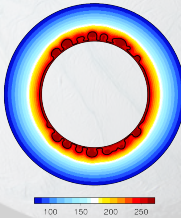
$\Delta = 240^\circ$   
 $t = 19.3 \text{ My}$



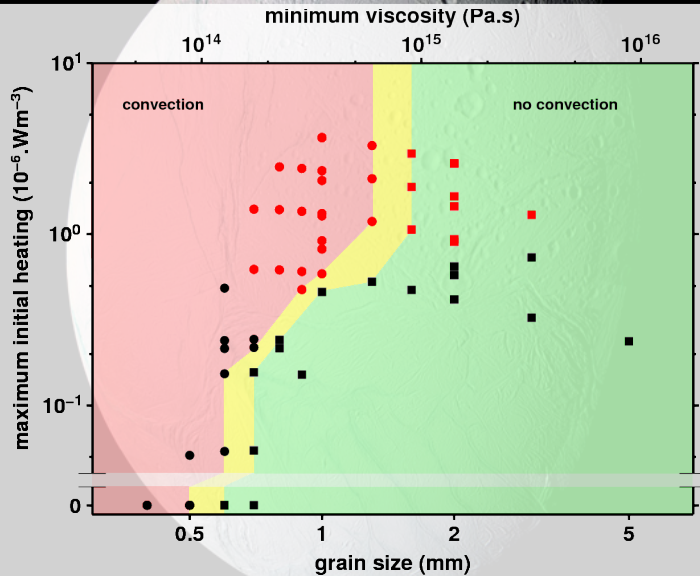
$\Delta = 300^\circ$   
 $t = 18.5 \text{ My}$



$\Delta = 360^\circ$   
 $t = 18.5 \text{ My}$



# Fázový diagram



# Závěr

- ▶ bez slapového zahřívání
  - ▶ kritická velikost zrna 0.5 mm, 5-15% objemu by muselo být tvořeno nečistotami o velikosti 0.1 mm (Durand a kol. 2006)
  - ▶ vznik konvekčních nestabilit nad celým vodním rezervoárem
  - ▶ zvýšení rychlostí vlivem počátku konvekce vede k rychlému přenosu tepla z vodního rezervoáru

# Závěr

## ► se slapovým zahříváním

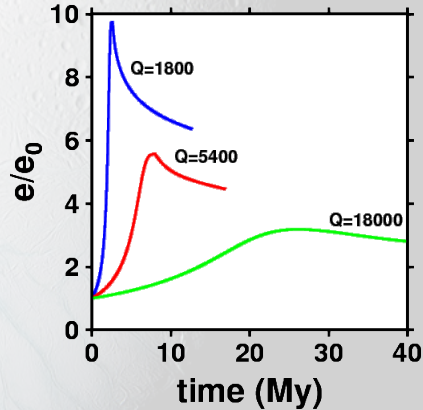
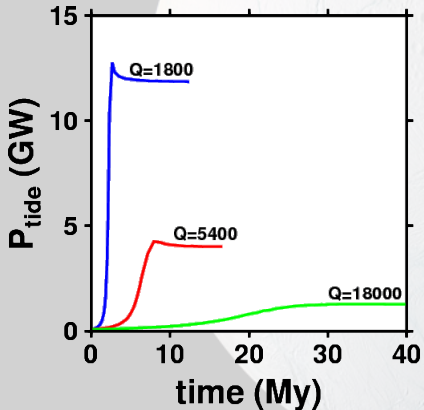
- ▶ zvýšení kritické velikosti zrna na  $1 - 1.5 \text{ mm}$  pokud je slapové zahřívání dostatečně veliké,  $0.5\text{-}2\%$  objemu by muselo být tvořeno nečistotami o s velikostí (Durand a kol. 2006)
- ▶ vznik konvekčních nestabilit v místech největšího slapového zahřívání (oblast pólů), poté postupné rozšíření
- ▶ zvýšení slapové disipace, které vyváží přenos tepla z vodního rezervoáru
- ▶ konvekce ovlivněna jen málo pro maximální velikost vnitřního zahřívání  $0.2 \cdot 10^{-6} \text{ W m}^{-3}$
- ▶ pro maximální velikost vnitřního zahřívání  $0.2 - 1 \cdot 10^{-6} \text{ W m}^{-3}$  slapové zahřívání zvyšuje kritickou velikost zrna
- ▶ pro maximální velikost vnitřního zahřívání větší než  $1 \cdot 10^{-6} \text{ W m}^{-3}$  se kritická velikost zrna již nezvyšuje (přítomnost tavení potlačuje další zvyšování vnitřní teploty a hustotních anomalií)
- ▶ tavení pozorováno pro maximální velikost vnitřního zahřívání přesahující  $0.5 - 0.9 \cdot 10^{-6} \text{ W m}^{-3}$
- ▶ přítomnost taveniny v ledové matici ovlivňuje velikost zrna
- ▶ vliv objemových změn lítivem tavení vyvolává kumulaci napětí
- ▶ velikost vnitřního oceánu ovlivňuje počátek konvekce nepřímo – pro malý vodní rezervoár nutno uvažovat vyšší excentricitu než velký vodní rezervoár k dosažení stejného slapového zahřívání ( $\Delta = 120^\circ$  a  $e = 4e_0$ ,  $\Delta \geq 180^\circ$  a  $e = 2e_0$ )

# Problémy a budoucí plány

- ▶ Andrade reologie v časové oblasti
- ▶ vývoj excentricity – jednoduché modely, disipace Saturnu  $Q = 10^3 - 10^5$
- ▶ vývoj velikosti zrna
  - ▶ vliv nečistot a přítomnosti taveniny
  - ▶ rovnovážná rekrytalizace zrna (Shimizu 1998, Barr a McKinnon 2007) – bere se v úvahu pouze tečení citlivé na velikost zrna
  - ▶ zahrnutí kinetiky (závislost na historii) – růst (minimalizace povrchové energie), redukce velikosti (rotační rekrytalizace, pro gss a dislokační tečení)
- ▶ stabilita oceánu, zmenšování/zvětšování plochy oceánu?, vliv příměsí snižujících bod tání (antifreezer)
- ▶ volumetrické změny vlivem vzniku taveniny – kumulace napětí, epizodické přepovrchování a periodicita

# Problémy a budoucí plány

$$\Delta = 180^\circ, e(t=0) = e_0, d = 1 \text{ mm}$$



# Problémy a budoucí plány

- ▶ Andrade reologie v časové oblasti
- ▶ vývoj excentricity – jednoduché modely, disipace Saturnu  $Q = 10^3 - 10^5$
- ▶ vývoj velikosti zrna
  - ▶ vliv nečistot a přítomnosti taveniny
  - ▶ rovnovážná rekrytalizace zrna (Shimizu 1998, Barr a McKinnon 2007) – bere se v úvahu pouze tečení citlivé na velikost zrna
  - ▶ zahrnutí kinetiky (závislost na historii) – růst (minimalizace povrchové energie), redukce velikosti (rotační rekrytalizace, pro gss a dislokační tečení)
- ▶ stabilita oceánu, zmenšování/zvětšování plochy oceánu?, vliv příměsí snižujících bod tání (antifreezer)
- ▶ volumetrické změny vlivem vzniku taveniny – kumulace napětí, epizodické přepovrchování a periodicita

